



1MHz, 轨到轨 I/O, 低功耗运算放大器

概述

ME321 是一款轨到轨输入输出，电压反馈运算放大器。输入共模范围和输出摆幅较大，最低工作电源电压仅为 2.1V, 最高电压可达 5.5V。工作环境温度范围 -40°C~85°C。

ME321 的静态电流仅为 65uA, 同时可以提供 1MHz 的单位增益带宽。输入失调电压仅为 10pA, 因此 ME321 可以广泛应用在积分器, 光电二极管, 压敏传感器等领域。轨到轨 I/O 可以为系统工程师的设计提供极大的便利。低静态电流适合应用于电池驱动的低功耗系统环境。

特点

- 通用型, 低功耗
- 轨到轨 I/O,
- 输入失调电压典型值为 0.8mV
- 增益稳定, 单位增益带宽 1MHz
- 低输入偏置电流: 10pA
- 工作电压范围: 2.1V~5.5V
- 输入电压范围: -0.1V~+5.5V(Vs=5.5V 时)
- 低静态电流: 65uA
- 工作温度范围: -40°C~85°C

东诚兴电子
www.dcx-ic.co

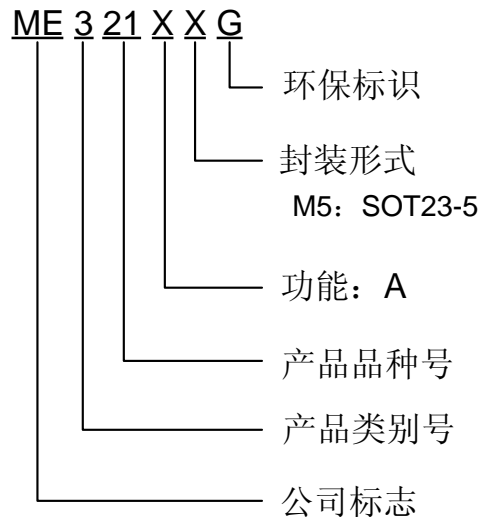
应用场景

- 传感器
- 压力传感放大器
- 移动通讯设备
- 音频输出
- 便携应用
- 烟雾监测
- 电池驱动的设备

封装形式

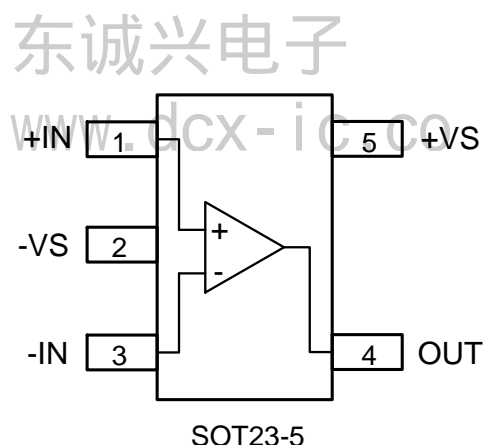
- 5-pin SOT23-5

选购指南



| 产品型号 | 产品说明 |
|-----------|---------------|
| ME321AM5G | 封装形式: SOT23-5 |

芯片脚位图



引脚功能说明

| PIN 脚位 SOT23-5 | 符号名 | 功能说明 |
|-------------------|-----|--------|
| 1 | +IN | 同相输入端 |
| 2 | -VS | IC 负电源 |
| 3 | -IN | 反相输入端 |
| 4 | OUT | 输出端 |
| 5 | +VS | IC正电源 |

绝对最大额定值

| 参数 | 最小值 | 最大值 | 单位 |
|--------------------|---------|---------|------|
| 电源电压 | 2.1 | 6 | V |
| 输入电压范围 | -Vs-0.3 | +Vs+0.3 | V |
| 耐 ESD 电压 | 4000V | | V |
| 结温 | -40 | 150 | °C |
| 工作环境温度 | -40 | 85 | °C |
| 存储温度 | -55 | 150 | °C |
| 封装热阻 θ_{JA} | SOT23-5 | 210 | °C/W |
| 封装功耗 P_D | SOT23-5 | 0.6 | W |
| 焊接温度 | | 260/10S | °C |

注意：绝对最大额定值是本产品能够承受的最大物理伤害极限值，请在任何情况下勿超出该额定值。

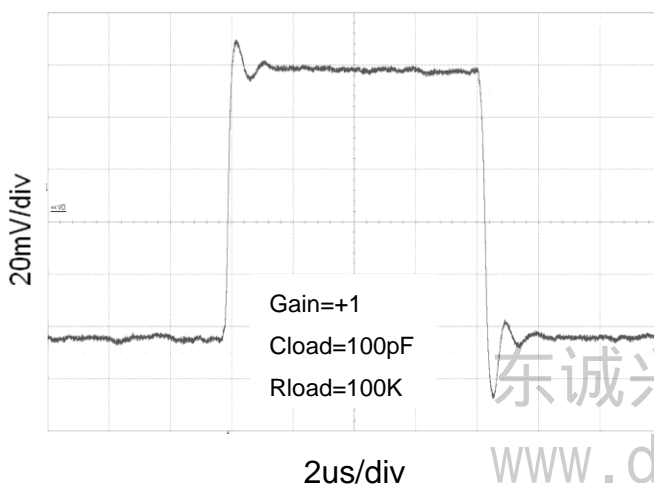
电气特性 (正常条件 $TA = 25^{\circ}C$, $V_S = +5V$, $R_L = 100k\Omega$ connected to $V_S/2$, and $V_{OUT} = V_S/2$, 除非另行标注)

| 参数 | 符号 | 测试条件 | 最小值 | 典型值 | 最大值 | 单位 |
|------------|--------------------------|---|------|-------|------|------------------|
| 输入失调电压 | V_{OS} | $V_{CM} = V_S/2$ | -4 | 0.8 | +4 | mV |
| 输入偏置电流 | I_B | | | 10 | | pA |
| 输入失调电流 | I_{OS} | | | 1 | | pA |
| 输入共模电压范围 | V_{CM} | $V_S = 5.5V$ | -0.1 | | +5.5 | V |
| 共模抑制比 | CMRR | $V_S = 5.5V, V_{CM} = -0.1V \text{ to } 4V$ | 73 | 85 | | dB |
| | | $V_S = 5.5V, V_{CM} = -0.1V \text{ to } 5.6V$ | 70 | 80 | | |
| 开环电压增益 | A_{OL} | $R_L = 5k\Omega, V_O = +0.1V \text{ to } +4.9V$ | 80 | 86 | | dB |
| | | $R_L = 100k\Omega, V_O = +0.035V \text{ to } +4.965V$ | 83 | 89 | | |
| 输入失调电压温度系数 | $\Delta V_{OS}/\Delta T$ | | | 2 | | $\mu V/{\circ}C$ |
| 输出电压范围 | V_{OH} | $R_L = 100k\Omega$ | | 4.999 | | V |
| | V_{OL} | $R_L = 100k\Omega$ | | 1 | | mV |
| | V_{OH} | $R_L = 10k\Omega$ | | 4.996 | | V |
| | V_{OL} | $R_L = 10k\Omega$ | | 5 | | mV |
| 输出电流 | I_{SOURCE} | $R_L = 10\Omega \text{ to } V_S/2$ | 70 | 85 | | mA |
| | I_{SINK} | | 60 | 75 | | |
| 工作电压范围 | | | 2.1 | | 5.5 | V |
| 电源抑制比 | PSRR | $V_S = +2.5V \text{ to } +5.5V, V_{CM} = +0.5V$ | 61 | 82 | | dB |
| 静态电流 | I_Q | | | 65 | 85 | μA |
| 单位增益带宽 | GBW | $R_L = 100k\Omega, C_L = 100pF$ | | 1 | | MHz |
| 相位裕度 | PM | $R_L = 100k\Omega, C_L = 100pF$ | | 63 | | ° |

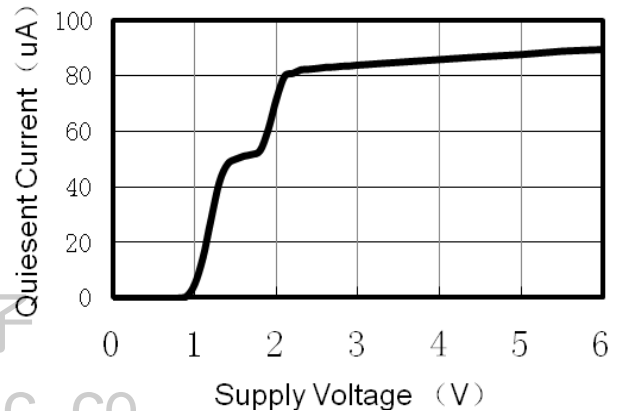
| | | | | | | |
|-----------|-------|---|--|------|--|-------------------------|
| 摆率 | SR | $A_V = 1, V_{OUT} = 1.5V \text{ to } 3.5V, R_L = 100k\Omega, C_L=100pF$ | | 0.58 | | V/ μ s |
| 建立时间 0.1% | t_S | $A_V = 1, V_{OUT} = 1.5V \text{ to } 3.5V, R_L = 100k\Omega, C_L=100pF$ | | 4.2 | | μ s |
| 过载恢复时间 | | $V_{IN} \cdot \text{Gain} > V_S, R_L = 100k\Omega, C_L=100pF$ | | 2.6 | | μ s |
| 噪声谱密度 | e_n | $f = 1\text{kHz}$ | | 27 | | $nV / \sqrt{\text{Hz}}$ |
| | | $f = 10\text{kHz}$ | | 20 | | $nV / \sqrt{\text{Hz}}$ |

典型性能参数

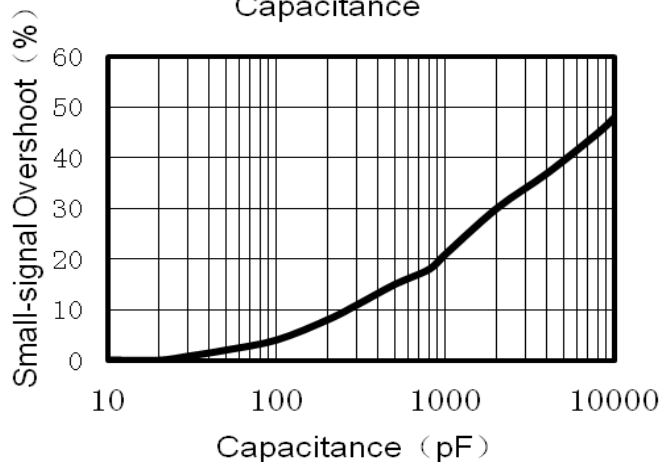
Small-Signal Step Response, 100mV Step



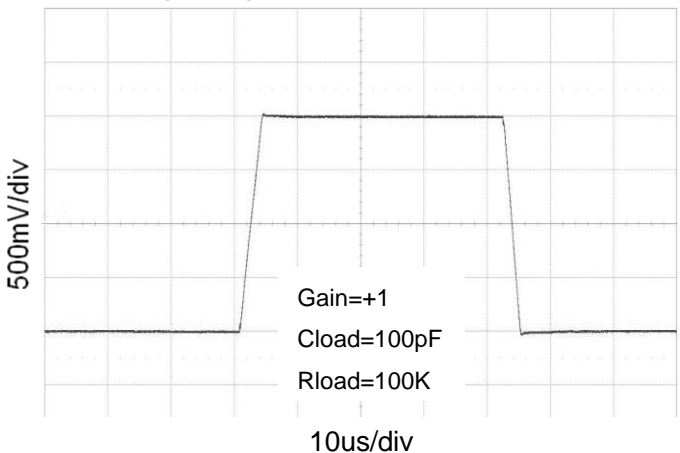
Quiescent Supply Current vs. Supply Voltage



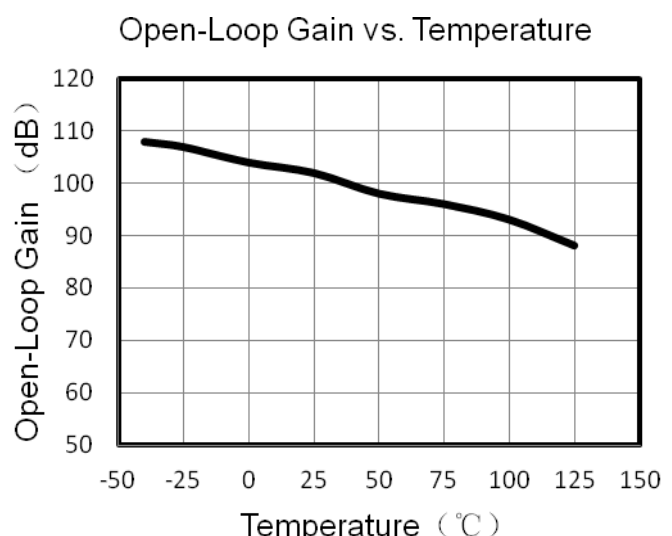
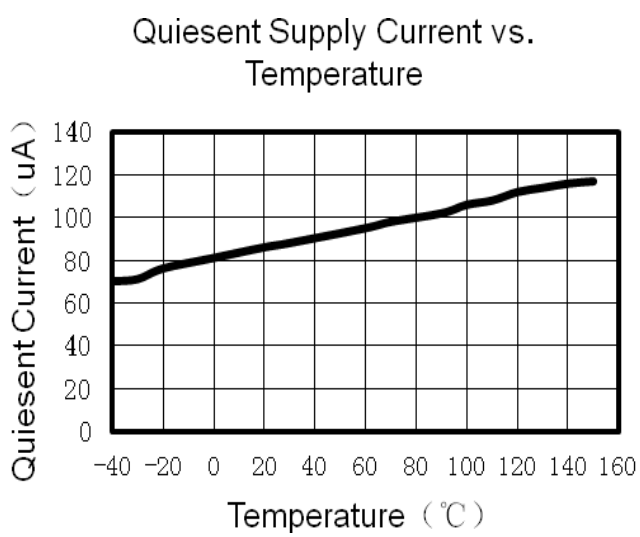
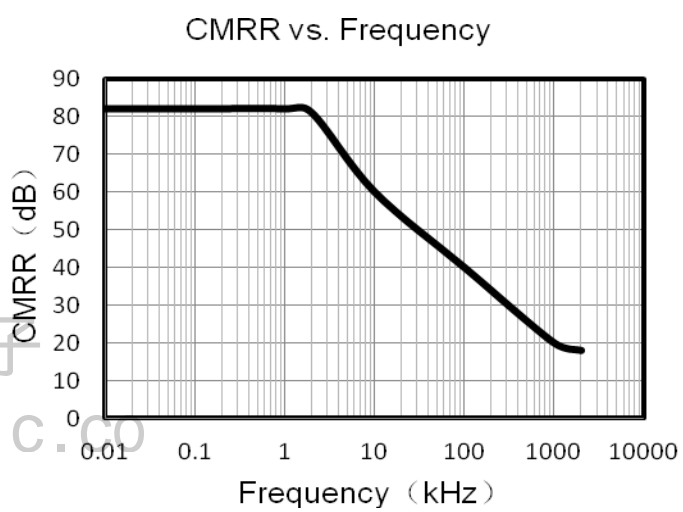
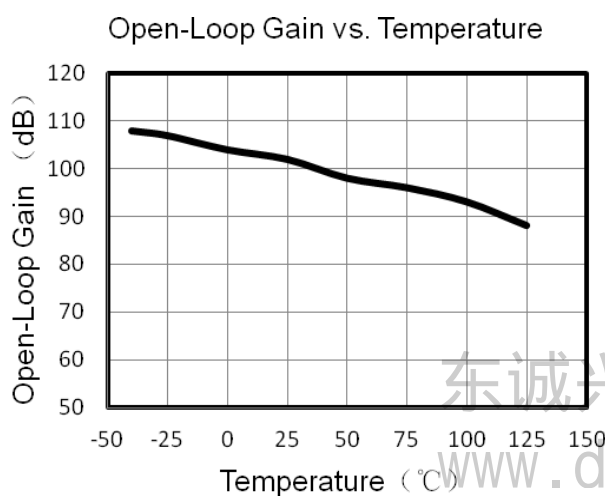
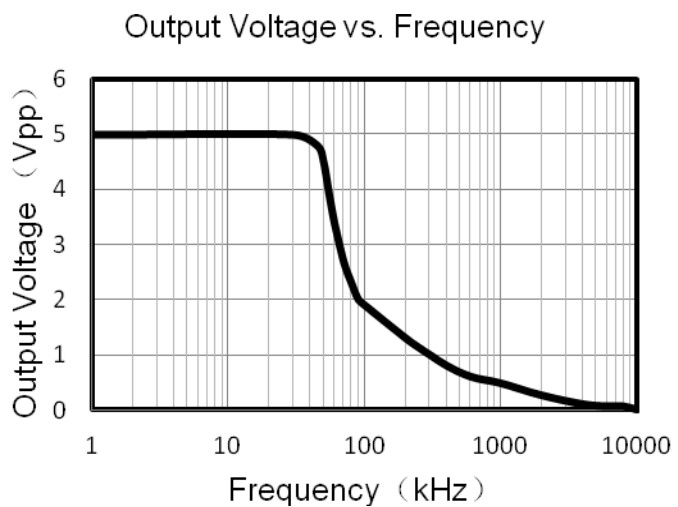
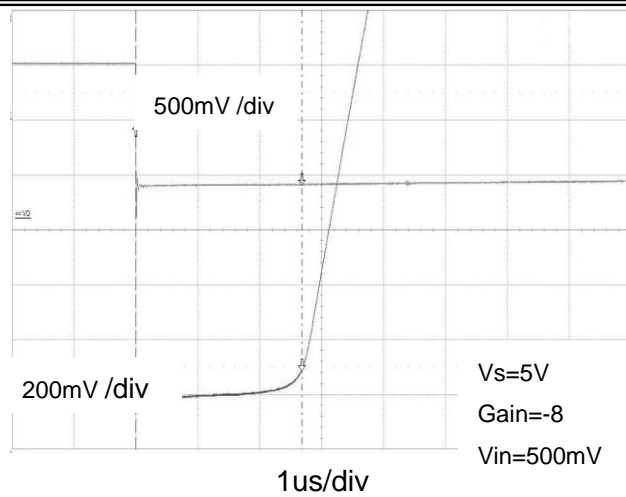
Small-signal Overshoot vs. Load Capacitance

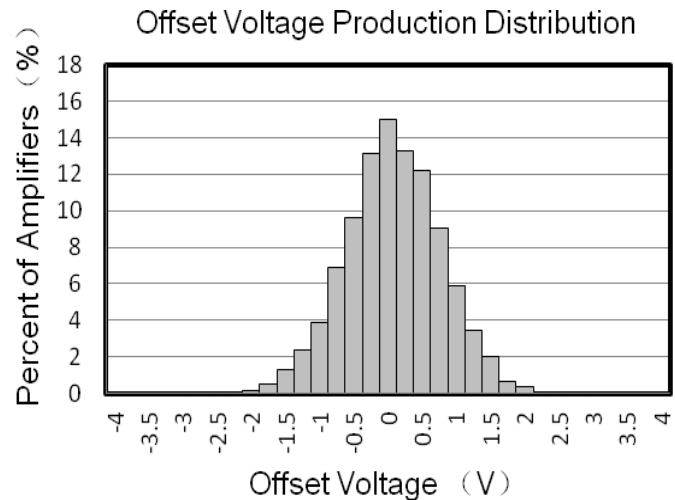
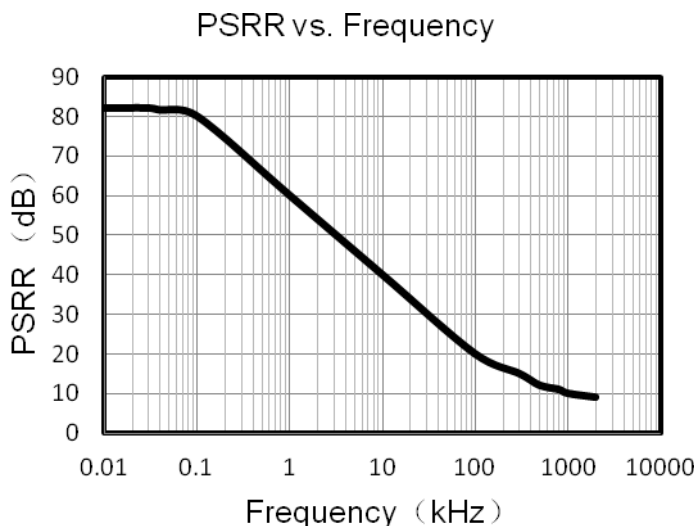


Large-Signal Step Response, 2V Step



Overload Recovery Time





应用指导

驱动电容负载

在单位增益情况下 ME321 可以直接驱动 250PF 的电容负载而不导致振荡。单位增益跟随器是带电容负载时最敏感的电路结构。直接驱动电容负载会使得相位裕度减小，产生振铃甚至发生振荡。实际应用中驱动电容负载需要更好的驱动电路结构，常见的用法如图 1 所示，在运放结构和负载电容之间增加一个隔离电阻。隔离电阻 R_{ISO} 和负载电容 C_L 产生了一个零点，可以提高系统的稳定性。隔离电阻 R_{ISO} 越大， V_{OUT} 系统越稳定。注意，这种方法会导致增益减小，因为 R_{ISO} 对于负载电阻 R_{LOAD} 会起到电压分隔的作用。

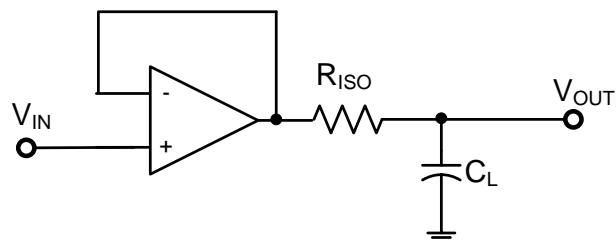


图 1. 驱动大电容负载

图 2 提供了一个改进的电路结构。它可以产生较好的直流精度和交流稳定性。通过将输出和反向端连接起来， R_F 可以使直流工作点更加精确。 C_F 和 R_{ISO} 抵消了负载电容导致的相位裕度减小，通过将输出端的高频信号反馈到运放的反向输入端，从而保证了整个环路系统的相位裕度。

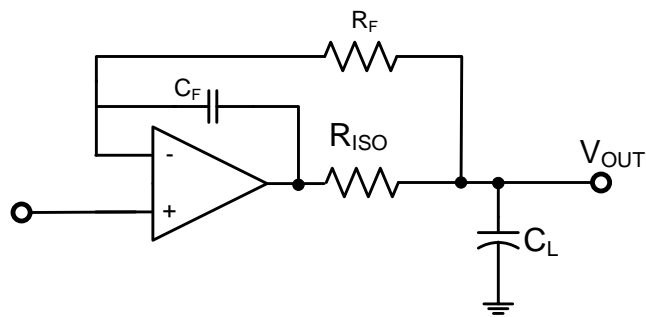


图 2. 驱动大电容负载改进电路

对于跟随器以外的其他电路结构，有另外两种方法来提高相位裕度：

1. 提高运放的闭环增益；
2. 增加一个电容与反馈电阻并联，以抵消运放反向输入端节点的寄生电容。

电源和旁路电容的布局

ME321 可以在电源电压 $+2.1V \sim +5.5V$ ，或在双电源系统电压 $\pm 1.05V \sim \pm 2.75V$ 的范围内工作。对于单电源系统，电源需要使用旁路电容到地，通常用一个 $0.1\mu F$ 的陶瓷电容，它必须放置在靠近 $+V_S$ 引脚的位置。对于双电源系统， $+V_S$ 和 $-V_S$ 都需要用旁路电路耦合到地，通常用一个 $0.1\mu F$ 的陶瓷电容。在需要更好应用效果的电路中可以使用 $2.2\mu F$ 的钽电容进行替换，如图 3 所示。

东诚兴电子

WWW.dcx-ic.co

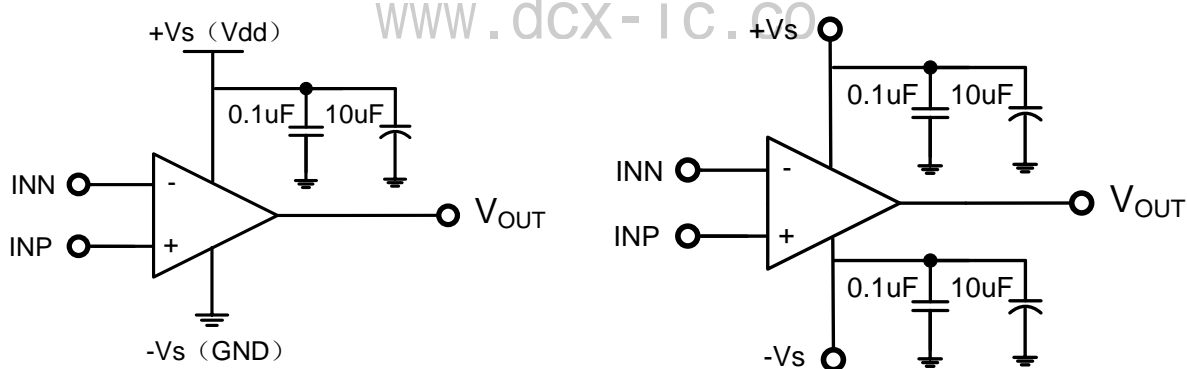


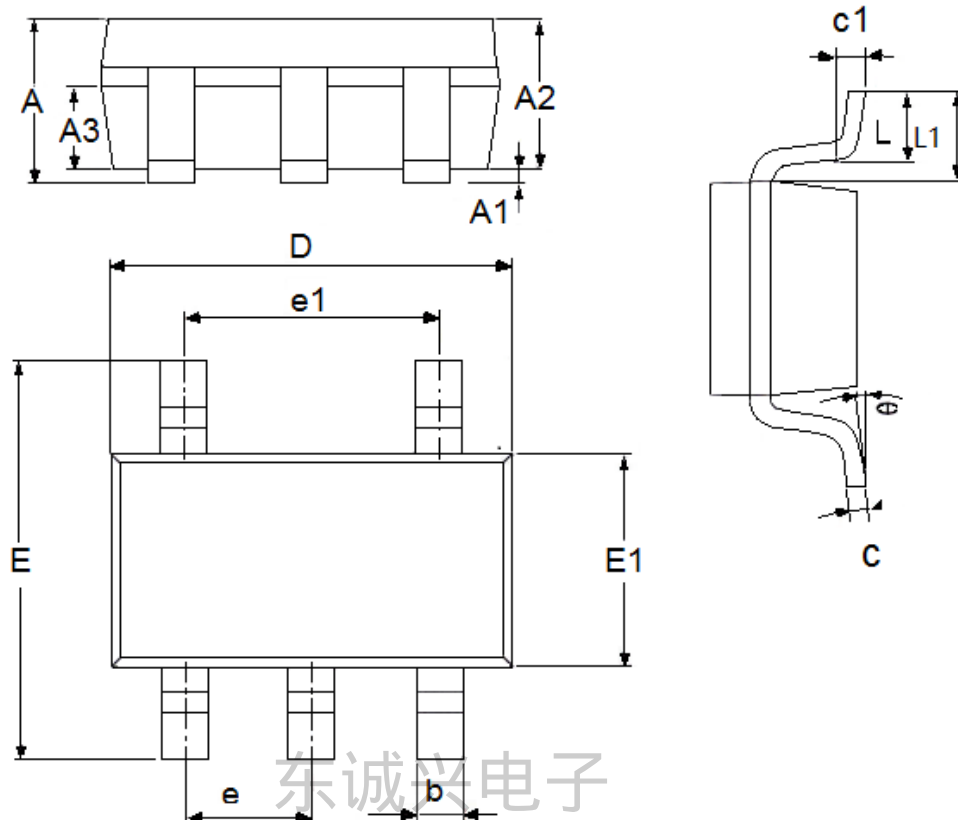
图 3. 电源和旁路电容布局

PCB 板走线布局

为了获得最佳性能，设计 PCB 板时必须十分用心。良好的地线布局可以减小寄生电容和运放输入输出引脚的噪声，从而提高系统性能。为了减小寄生电容，需要尽量缩短 PCB 走线，外围元器件的排布需要尽可能靠近运放引脚。运放的输入偏置电流典型值仅有 $10pA$ ，为了避免 PCB 板表面漏电流对运放产生干扰，PCB 板的表面必须确保清洁干燥。

封装信息

- 封装类型: SOT23-5



| 参数 | 尺寸 (mm) | | 尺寸 (Inch) | |
|----|-----------|------|-------------|--------|
| | 最小值 | 最大值 | 最小值 | 最大值 |
| A | 1.05 | 1.45 | 0.0413 | 0.0571 |
| A1 | 0 | 0.15 | 0.0000 | 0.0059 |
| A2 | 0.9 | 1.3 | 0.0354 | 0.0512 |
| A3 | 0.6 | 0.7 | 0.0236 | 0.0276 |
| b | 0.25 | 0.5 | 0.0098 | 0.0197 |
| c | 0.1 | 0.23 | 0.0039 | 0.0091 |
| D | 2.82 | 3.05 | 0.1110 | 0.1201 |
| e1 | 1.9(TYP) | | 0.0748(TYP) | |
| E | 2.6 | 3.05 | 0.1024 | 0.1201 |
| E1 | 1.5 | 1.75 | 0.0512 | 0.0689 |
| e | 0.95(TYP) | | 0.0374(TYP) | |
| L | 0.25 | 0.6 | 0.0098 | 0.0236 |
| L1 | 0.59(TYP) | | 0.0232(TYP) | |
| θ | 0 | 8° | 0.0000 | 8° |
| c1 | 0.2(TYP) | | 0.0079(TYP) | |

东诚兴电子

www.dcx-ic.co

- 本资料内容，随产品的改进，会进行相应更新，恕不另行通知。使用本资料前请咨询我司销售人员，以保证本资料内容为最新版本。
- 本资料所记载的应用电路示例仅用作表示产品的代表性用途，并非是保证批量生产的设计。
- 请在本资料所记载的极限范围内使用本产品，因使用不当造成的损失，我司不承担其责任。
- 本资料所记载的产品，未经本公司书面许可，不得用于会对人体产生影响的器械或装置，包括但不限于：健康器械、医疗器械、防灾器械、燃料控制器械、车辆器械、航空器械及车载器械等。
- 尽管本公司一向致力于提高产品质量与可靠性，但是半导体产品本身有一定的概率发生故障或错误工作，为防止此类事故而造成的人身伤害或财产损失，请在使用过程中充分留心备用设计、防火设计、防止错误动作设计等安全设计。
- 将本产品或者本资料出口海外时，应当遵守适用的进出口管制法律法规。
- 未经本公司许可，严禁以任何形式复制或转载本资料的部分或全部内容。